

EXPÉRIENCE DE STERN ET GERLACH (TPC 2016)

I) Analyse du jet d'atomes d'argent

Q1. La masse molaire M_{Ag} est la masse de N_A molécules. La masse d'une molécule est donc :

$$m_{Ag} = \frac{M_{Ag}}{N_A}$$

Pour un GPM, l'énergie interne correspond à l'énergie cinétique microscopique moyenne des atomes :

$$U = \sum_i \frac{1}{2} m_i v_i^2 = \frac{1}{2} N m_{Ag} \langle v^2 \rangle \quad \text{où } N \text{ est le nombre d'atomes}$$

$$\text{Or, } U = \frac{3}{2} n R T = \frac{3}{2} \frac{N}{N_A} R T$$

$$\Rightarrow v_0 = \sqrt{\langle v^2 \rangle} = \sqrt{\frac{3 R T}{m_{Ag} N_A}}$$

$$v_0 = \sqrt{\frac{3 R T}{M_{Ag}}}$$

$$\text{A.N. } v_0 = \underline{541 \text{ m.s}^{-1}}$$

Q2. On associe à toute particule une longueur d'onde de De Broglie :

$$\lambda_{dB} = \frac{h}{P} = \frac{h}{m_{Ag} v} \sim \frac{h}{m_{Ag} v_0} = \frac{6,6 \cdot 10^{-34} \times 6,02 \cdot 10^{23}}{108 \cdot 10^{-3} \times 541}$$

$\Rightarrow \lambda_{dB} = 6,80 \text{ pm} \ll b = 1 \text{ mm} \Rightarrow$ on peut négliger le phénomène de diffraction pour les atomes d'Ag traversant la fente.

Q3. densité volumique de particules :

$$n^* = \frac{N}{V} = \frac{n N_A}{V} = \frac{P}{R T} N_A \quad \Rightarrow \quad n^* = \frac{P}{k_B T}$$

$$\text{A.N. } n^* = \frac{10^{-3}}{1,38 \cdot 10^{-23} \times 1270} = \underline{5,7 \cdot 10^{16} \text{ m}^{-3}}$$

$$Q4. \quad l^* = \frac{1}{4\pi\epsilon_0^2 m^*} = \frac{1}{4\pi \times (160 \cdot 10^{-12})^2 \times 5,7 \cdot 10^{16}}$$

$$l^* = 54,6 \text{ m}$$

$l^* \gg$ dimensions du dispositif \Rightarrow les atomes d'Ag n'interagissent pas entre eux, le modèle du GP convient

II) Analyse de la déflexion magnétique

II.1) Magnéton de Bohr

$$Q5. \quad \vec{f}_e = \frac{-e^2}{4\pi\epsilon_0 R_H^2} \vec{u}_z$$

$$\frac{\|m_e \vec{g}\|}{\|\vec{f}_e\|} = \frac{m_e g 4\pi\epsilon_0 R_H^2}{e^2} \approx \frac{10^{-30} \times 10 \times 10 \times 10 \cdot 10^{-12} \times (100 \cdot 10^{-12})^2}{(10^{-19})^2} \approx 10^{-21}$$

Le poids de l' e^- est négligeable devant la force électrique.

Q6. PFD appliqué à l' e^- dans R galiléen:

$$m_e \vec{a} = \vec{f}_e$$

$$-m_e R_H \dot{\Theta}^2 = \frac{-e^2}{4\pi\epsilon_0 R_H^2} \Rightarrow$$

$$\omega = \dot{\Theta} = \frac{e}{2\sqrt{\pi m_e \epsilon_0 R_H^3}}$$

$$Q7. \quad T = \frac{2\pi}{\omega} = \frac{4\sqrt{\pi^3 m_e \epsilon_0 R_H^3}}{e}$$

$$A.N. \quad T = \frac{4 \times [\pi^3 \times 9,1 \cdot 10^{-31} \times 8,8 \cdot 10^{-12} \times (160 \cdot 10^{-12})^3]^{1/2}}{1,6 \cdot 10^{-19}}$$

$$T = 1,5 \cdot 10^{-16} \text{ s}$$

$$Q8. \quad I = \frac{\delta q}{dt} = \frac{-e}{T}$$

$$I = -\frac{e\omega}{2\pi}$$

$$Q9. \quad \vec{m} = I \vec{S} \quad \text{avec} \quad \vec{S} = \pi R_H^2 e_{\Delta}^{\rightarrow}$$

$$\Rightarrow \vec{m} = -\frac{e\omega R_H^2}{2} e_{\Delta}^{\rightarrow}$$

Q10. moment cinétique de l'électron:

$$\begin{aligned}\vec{L}_0 &= \vec{OM} \wedge m_e \vec{v} = R_H \vec{u}_z \wedge m_e R_H \omega \vec{u}_\theta \\ &= m_e \omega R_H^2 \vec{u}_z = m_e \omega R_H^2 \vec{e}_z\end{aligned}$$

$$\Rightarrow \boxed{\vec{m} = -\frac{e}{2m_e} \vec{L} = \gamma \vec{L}} \quad \text{avec} \quad \boxed{\gamma = -\frac{e}{2m_e}}$$

Q11. état fondamental $\Rightarrow n=1$, $\|\vec{L}\| = \hbar$
alors $\|\vec{m}\| = \mu_B = |\gamma| \hbar = \frac{e \hbar}{2m_e}$

$$\boxed{\mu_B = \frac{e \hbar}{2m_e}}$$

$$\text{A.N. } \mu_B = \frac{1,6 \cdot 10^{-19} \times 6,6 \cdot 10^{-34}}{2 \times 2\pi \times 9,1 \cdot 10^{-31}}$$

$$\mu_B = 9,2 \cdot 10^{-24} \text{ A} \cdot \text{m}^2$$

II.2) Cas d'un champ magnétique uniforme

Q12. TMC appliqué à l' e^- :

$$\frac{d\vec{L}}{dt} = \vec{\Gamma} = \vec{m} \wedge \vec{B}$$

$$\text{or } \vec{L} = \frac{\vec{m}}{\gamma} \Rightarrow \frac{d\vec{m}}{dt} = \gamma \vec{m} \wedge \vec{B}$$

Projetons cette relation sur \vec{e}_z :

$$\frac{dm_z}{dt} = \gamma (\vec{m} \wedge \vec{B} \cdot \vec{e}_z) = 0 \Rightarrow \boxed{\frac{dm_z}{dt} = 0}$$

En multipliant scalairement le TMC par \vec{m} , on a:

$$\frac{d\vec{m}}{dt} \cdot \vec{m} = \frac{d}{dt} \left(\frac{1}{2} m^2 \right) = \gamma (\vec{m} \wedge \vec{B}) \cdot \vec{m} = 0$$

$$\boxed{\frac{d}{dt} \left(\frac{1}{2} m^2 \right) = 0}$$

Q13. On en déduit que $\|\vec{m}\| = \text{cte}$ et $m_z = \vec{m} \cdot \vec{e}_z = \text{cte}$
donc l'angle θ entre \vec{m} et \vec{B} reste constant.

$$\frac{d\vec{m}}{dt} = \gamma \vec{m} \wedge \vec{B} = -\gamma \vec{B} \wedge \vec{m} = \vec{\Omega} \wedge \vec{m}$$

analogie avec l'expression de la vitesse d'un point M en mouvement circulaire autour de O à la vitesse angulaire Ω :

$$\vec{v} = \frac{d\vec{OM}}{dt} = \vec{\Omega} \wedge \vec{OM}$$

\Rightarrow l'extrémité de \vec{m} décrit un cercle d'axe \vec{e}_z à la vitesse angulaire $\boxed{\Omega_L = |\gamma| B = \frac{eB}{2m_e}}$

Q14. $T_L = \frac{2\pi}{\Omega_L} = \frac{4\pi m_e}{eB} = \frac{4\pi \times 9,1 \cdot 10^{-31}}{1,6 \cdot 10^{-19} \times 1} = \underline{7,1 \cdot 10^{-11} \text{ s}}$

temps de trajet dans l'entrefer :

$$\tau \approx \frac{l}{v_0} = \frac{3,5 \cdot 10^{-2}}{541} = \underline{6,5 \cdot 10^{-5} \text{ s}}$$

$\tau \gg T_L \Rightarrow$ sur la durée τ , on raisonne sur la valeur moyenne de \vec{m}

Alors, $\langle m_x \rangle = \langle m_y \rangle = 0$ (car l'extrémité de \vec{m} décrit un cercle dans un plan $\parallel \vec{a}$ (Oxy))

Q15. $\vec{F} = -\text{grad } E_p = +\text{grad}(\vec{m} \cdot \vec{B})$
 $= \text{grad}(m_z B) = m_z \text{grad } B$ car $m_z = \text{cte}$

Cette force est nulle si $\text{grad } B = 0 \Rightarrow$ un champ uniforme ne peut dévier les atomes.

II.3) Cas d'un champ magnétique non uniforme

Q16. " \vec{B} est à flux conservatif" \rightarrow le flux de \vec{B} à travers toute surface fermée est nul

Q17. Les lignes de champ sont plus resserrées au niveau du pôle nord, le champ y est plus intense.

$\Rightarrow \text{grad } B_z$ est orienté du pôle sud vers le pôle nord donc selon $-\vec{e}_z$.

Q18. $\vec{F} = -\text{grad } E_p = \text{grad } \vec{m} \cdot \vec{B} = m_z \text{grad } B_z$

$$\vec{F} = m_z \frac{dB_z}{dz} \vec{e}_z$$

$$\|\vec{F}\| \approx \mu_B \frac{dB_z}{dz} = 9 \cdot 10^{-24} \times 500 = \underline{4,5 \cdot 10^{-21} \text{ N}}$$

Q19. En mécanique classique, l'angle entre \vec{m} et \vec{B} est quelconque et peut prendre toutes les valeurs entre 0 et π .

Alors m_z peut prendre toutes les valeurs entre $-\|\vec{m}\|$ et $+\|\vec{m}\|$ et F_z toutes les valeurs entre $-\|\vec{m}\| \frac{dB_z}{dz}$ et $+\|\vec{m}\| \frac{dB_z}{dz} \Rightarrow$ les \neq atomes sont déviés d'un angle α qui peut prendre une valeur quelconque entre 2 valeurs extrêmes (cf figure A3b).

Q20. PFD appliqué à un atome dans l'entrefer de l'électroaimant:

$$m_{Ag} \vec{a} = \vec{F} = m_z \frac{dB_z}{dz} \vec{e}_z = \vec{c}t^e$$

$$\Rightarrow \vec{v} = \frac{m_z}{m_{Ag}} \frac{dB_z}{dz} t \vec{e}_z + \vec{v}_0$$

$$\Rightarrow \vec{OM} = \frac{m_z}{m_{Ag}} \frac{dB_z}{dz} \frac{t^2}{2} \vec{e}_z + v_0 t \vec{e}_x$$

$$\left\{ \begin{array}{l} x(t) = v_0 t \rightarrow t = x/v_0 \\ z(t) = \frac{m_z}{m_{Ag}} \frac{dB_z}{dz} \frac{t^2}{2} \end{array} \right.$$

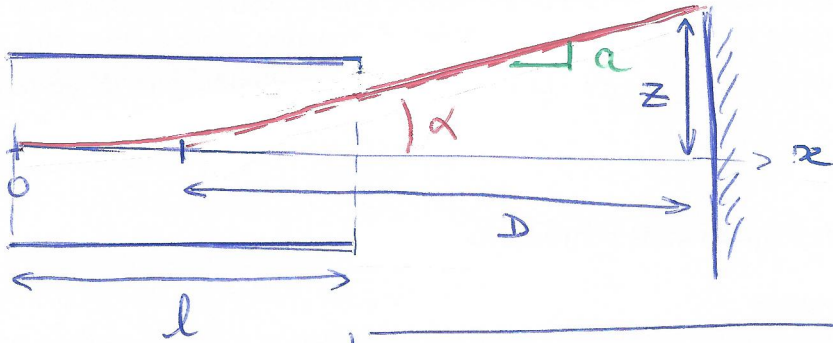
d'où l'équation de la trajectoire:

$$z(x) = \frac{m_z}{m_{Ag} 2 v_0^2} \frac{dB_z}{dz} x^2 \rightarrow \text{trajectoire parabolique}$$

Q21. après l'entrefer, les atomes sont isolés (poids négligé) \Rightarrow leur trajectoire est rectiligne uniforme, leur vitesse est celle atteinte en sortie de l'entrefer ($x=l$)

$$\text{pente } a = \left(\frac{dz}{dx} \right)_{x=l} = \frac{m_z}{m_{Ag} v_0^2} \frac{dB_z}{dz} l$$

Q22.



$$a = \tan \alpha = \frac{z}{D} \Rightarrow z = a D = \frac{m_z}{m_{Ag} v_0^2} \frac{dB_z}{dz} l D$$

$$\text{or } v_0^2 = \frac{3RT}{m_{Ag} N_A} = \frac{3k_B T}{m_{Ag}}$$

$$\Rightarrow z = \frac{m_z}{3k_B T} \frac{dB_z}{dz} l D$$

Q23. D'après Asc), $z = \pm \frac{2}{20} \text{ mm} = \pm 0,1 \text{ mm}$

$$m_z = \frac{z \times 3k_B T}{\frac{dB_z}{dz} l D} = \pm \frac{0,1 \times 10^{-3} \times 3 \times 1,38 \cdot 10^{-23} \times 1270}{500 \times 3,5 \cdot 10^{-2} \times 1,8 \cdot 10^{-2}}$$

$$m_z = \pm 2 \cdot 10^{-23} \text{ A} \cdot \text{m}^2 \rightarrow \text{valeur proche de celle de } \mu_B$$

Q24. Ag : $[Kr] 4d^{10} 5s^1$

1 seul e- célibataire \Rightarrow moment magnétique similaire à celui de l'hydrogène (μ_B) \rightarrow en accord avec le résultat de la question Q23

Q25. L'expérience met en évidence la quantification du moment cinétique de l'atome (2 tâches au lieu d'une tâche allongée). L'existence des ces 2 tâches est en fait due à l'existence du moment magnétique de spin de l'atome.